

представлена амплитудно-частотная характеристика акустооптического модулятора с волновым гетеродинированием продольными упругими волнами в молибдате свинца, зарегистрированная многоэлементным фотоприемником типа ЛФ-1024/25. Полученные результаты показывают эффективность применения гетеродинирования упругими волнами для повышения диапазона рабочих частот акустооптических устройств оптической обработки информации, а также для обеспечения их высокого разрешения.

### С п и с о к л и т е р а т у р ы

- [1] Ахманов С.А., Выслоух В.А., Чиркин А.С. Оптика фемтосекундных лазерных импульсов. М.: Наука, 1988. 312 с.
- [2] Сухоруков А.П. Нелинейные волновые взаимодействия в оптике и радиофизике. М.: Наука, 1988. 232 с.
- [3] Гиббс Х. Оптическая бистабильность. М.: Мир, 1988, 520 с.
- [4] Справочник по специальным функциям / Под ред. М. Абрамовича и И. Стиган. М.: Наука, 1979, 832 с.
- [5] Виноградова М.Б., Руденко О.В., Сухоруков А.П. Теория волн. М.: Наука, 1979. 384 с.

Поступило в Редакцию  
18 апреля 1989 г.

Письма в ЖТФ, том 15, вып. 13                    12 июля 1989 г.  
03; 12

### ВЛИЯНИЕ ПЕРЕХОДНОГО СЛОЯ НА РАЗВИТИЕ НЕУСТОЙЧИВОСТИ РЭЛЕЯ-ТЭЙЛORA

С.Г. Зайцев, Е.И. Чеботарева,  
С.Н. Титов, В.Б. Розанов,  
Е.Г. Гамалий, И.Г. Лебо

Экспериментальные исследования движения границы контакта жидкость-жидкость и жидкость-газ (см., например, [1, 2]) обнаружили, что в случае ускоренного движения, сообщаемого тяжелой среде более легкой, граница контакта оказывается неустойчивой — неустойчивость Рэлея-Тэйлора (НРТ). Значения ускорения  $-g$  в экспериментальных исследованиях НРТ изменялись от 1 до  $10^2 g_0$ , ( $g_0 = 989 \text{ см } \text{с}^{-2}$ ). Характерной особенностью этих экспериментов являлся разрыв плотности на границе контактирующих сред. Эксперименты обнаружили, что на начальной стадии развития неустойчивости, для которой  $a_0 < \lambda$  ( $a_0$  и  $\lambda$  — значений начальной амплитуды

и длины волны возмущения), рост амплитуды с течением времени определяется экспоненциальным законом с инкрементом  $\gamma_0 = \sqrt{gkA}$ ,

где  $k = 2\pi\lambda^{-1}$ ,  $A = \frac{\rho_2 - \rho_1}{\rho_2 + \rho_1}$ . В [3] дано теоретическое описание этого процесса в предположении несжимаемости сред и  $\rho = \text{const}$ . Анализ НРТ, выполненный для переходного слоя, в котором плотность изменяется непрерывно [4], обнаружил, что инкремент роста амплитуды возмущения для слоя меньше, чем для границы, на которой плотность терпит разрыв. Выражение для инкремента роста возмущения переходного слоя, полученное в [4], имеет вид

$$\gamma_1 = \frac{1}{\sqrt{2}} \left\{ [4k^2 c^2 N^2 + k^4 c^4]^{1/2} - k^2 c^2 \right\}^{1/2},$$

где  $N^2 = gk\rho - g^2 c^2$ ,  $k\rho = \frac{\partial \ln \rho}{\partial x}$ ,  $c$  — скорость звука.

С целью экспериментального изучения влияния переходного слоя на скорость роста области контактного перемешивания (ОКП) создана установка, представляющая собой вертикально расположенный канал с сечением  $7.2 \times 7.2 \text{ см}^2$ . В нижней части канала устанавливалась измерительная секция с боковыми стенками из оптического стекла. В поле зрения размещалась быстроудаляемая пластина, разделяющая канал на две части: верхняя часть заполнялась горючей смесью ( $0.45 H_2 + 0.55 O_2$ ), нижняя часть наполнялась аргоном. Перед опытом давление газов в верхней и нижней частях канала было строго одинаковым и равным 0.5 атм. Регистрация процесса осуществлялась с помощью интерферометра Маха-Цендера.

После выдвижения пластины из канала образовывалась область контактного перемешивания в виде слоя с монотонным изменением плотности при переходе через нее вдоль оси  $x$  (рис. 1). Время удаления пластины 0.1 с. Фронты, отделяющие ОКП от „чистых“ газов,  $\psi$  и  $\chi$ , определяются как геометрическое место точек, в которых кривизна интерференционных полос максимальна. Форма фронтов зависит от скорости движения пластины. Вначале движения скорость мала и фронты  $\psi$  и  $\chi$  описываются монотонными линиями. После достижения пластиной скорости, при которой  $Re \sim 10^2$  ( $Re = \delta \sigma u^{-2}$ ;  $\delta$  — толщина пластины,  $\sigma$  — скорость ее движения,  $u$  — вязкость) на фронтах  $\psi$  и  $\chi$  появляются возмущения и ОКП принимает форму волнообразной полосы. Для количественного описания ОКП в работе вводятся следующие обозначения:  $\Delta = \Delta(y, t)$  — ширина ОКП, определяемая процессами диффузии;  $a_\psi, a_\chi$  — амплитуды возмущений, возникающих на фронтах  $\psi, \chi$ , которые в пределах точности эксперимента одинаковы;  $\lambda$  — длина волны этих возмущений;  $L$  — протяженность ОКП, определяемая расстоянием между точками максимального проникновения газов.

После удаления пластины из канала в верхней его части инициировался фронт пламени. Перед фронтом пламени формировалась волна сжатия. В результате взаимодействия волны сжатия с ОКП вниз по каналу распространялась преломленная волна сжатия, сообщающая ускоренное движение аргону. При этом область контактного

*a*



*b*

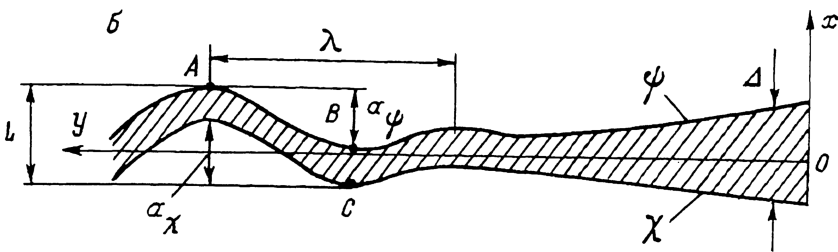


Рис. 1. Область контактного перемешивания (ОКП). а - интерферограмма ОКП, б - схема ОКП:  $\psi$ ,  $\chi$  - фронты, отделяющие ОКП от "чистых" газов.  $\alpha_\psi$ ,  $\alpha_\chi$  - амплитуды возмущений на  $\psi$  и  $\chi$ .  $\lambda$  - длина волны,  $L$  - полная протяженность ОКП,  $\Delta$  - толщина ОКП, определяемая диффузией.

перемешивания, сжимаясь, начинала ускоренно перемещаться в направлении оси  $x$ .

Для изучения развития области контакта в процессе движения производилась регистрация серии кадров, дающих мгновенное изображение ОКП в различные моменты времени. Интерферограммы использовались для построения траекторий движения точек  $A$ ,  $B$ ,  $C$  на фронтах  $\psi$  и  $\chi$  (рис. 1). Траектория каждой точки аппроксимировалась полиномом, коэффициенты которого подбирались с использованием метода наименьших квадратов. Совместное рассмотрение траекторий точек  $A$ ,  $B$ ,  $C$  использовалось для определения  $\alpha_\psi(t)$ ,  $\alpha_\chi(t)$ ,  $L(t)$  и  $\Delta(t)$ . Для всего интервала времени изучаемого процесса  $\alpha_\psi, \alpha_\chi < \lambda$ . Ускорение, испытываемое ОКП, равняется  $(3 \pm 2) \cdot 10^7 \text{ см} \cdot \text{с}^{-2}$ . Обработка показала, что движение ОКП сопровождается уменьшением ширины  $\Delta$  за время наблюдения процесса (около  $10^{-3}$  с) на 40%. Начальное значение  $\Delta$  (перед приходом переднего фронта волны сжатия) равно 1 см. Результаты измерения  $\alpha_\psi$  даны на рис. 2. Рост амплитуды фронта ОКП с течением времени обнаруживает две стадии, отличающиеся скоростью изменения  $\alpha_\psi$ . Аппроксимируя первую стадию ( $0 < t < 350 \text{ мкс}$ ) экспоненциальной зависимостью, получим для инкремента значение  $\gamma = (5 \pm 3) \cdot 10^2 \text{ с}^{-1}$ . На второй стадии скорость

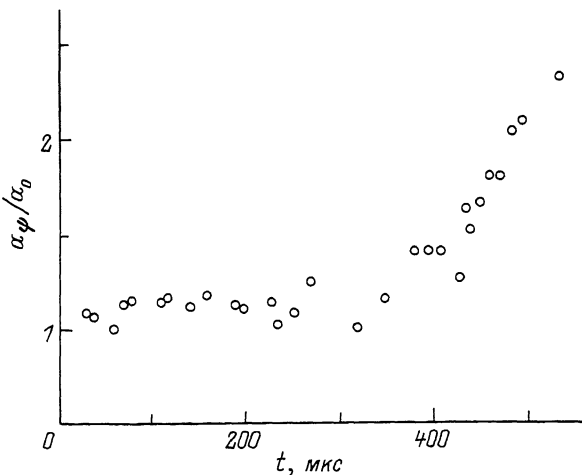


Рис. 2. Амплитуда возмущения в функции времени.

роста  $\alpha_\phi$  резко увеличивается, соответствующее значение  $J = (50 \pm 10) \cdot 10^2 \text{ с}^{-1}$ .

Величина  $J_0$  для используемых в работе режимов ( $\lambda = 1.5 \text{ см}$ ,  $J = 3 \cdot 10^7 \text{ см с}^{-2}$ ) равна  $66 \cdot 10^2 \text{ с}^{-1}$ . Значение  $J_r$  (при толщине слоя  $0.6 \text{ см}$ ) равно  $60 \cdot 10^2 \text{ с}^{-1}$ . Как видно экспериментально наблюдаемые значения оказываются ниже расчетных.

Существование „скрытого периода“ в развитии переходного слоя, испытывающего ускоренное движение, для несжимаемых сред было обнаружено в [5]. В течение этого периода не наблюдалось изменений переходного слоя, а после его окончания происходило бурное развитие слоя, сопровождающееся перемешиванием и увеличением толщины слоя.

#### Список литературы

- [1] Lewis D.J. // Proc. Roy. Soc. 1950. 202A. P. 81-96.
- [2] Emmons H.W., Chang C.T. and Watson B.C. // J. Fluid. Mech. 1960. V. 7. N 2. P. 177-190.
- [3] Taylor G.J. // Proc. Roy. Soc. 1950. 201A. P. 192-196.
- [4] Гамалий Е.Г., Неуважаев В.Е., Шибаршов А.И. Сб.: Численные методы механики сплошной среды, 1976, 7, 1, с. 47-56.
- [5] Ардашова Р.И., Балабин С.И., Волошин И.П., Кучеренко Ю.А., Птицина Н.И.,

Поступило в Редакцию  
20 марта 1989 г.

Письма в ЖТФ, том 15, вып. 13

12 июля 1989 г.

0.8

## К ОЦЕНКЕ МАГНИТО-РЕЗОНАНСНОГО УПРАВЛЕНИЯ АКУСТИЧЕСКОЙ КОНТРАСТНОСТЬЮ РАЗРЫВОВ ФЕРРИТОВЫХ КРИСТАЛЛОВ

Н.С. Ш е в я х о в

Интерес к отражению акустических волн (AB) от границ ферритовых кристаллов стимулировался в основном изучением поляризационных эффектов [1-5]. Ограничение нормальным падением [1-3] и представление ферромагнетика эффективной средой с асимметричной упругостью [4, 5] исключало адекватную оценку резонансного отклика магнитной подсистемы на наклонно падающую AB, что в интересах приложений необходимо для определения эффективности магниторезонансного управления акустической контрастностью разрывов свойств среды.

Рассмотрим отражение сдвиговой, поляризованной по оси  $Z$  монохроматической волны от границы  $y=0$  кристаллов ферритов-гранатов с плоскостями (001), совмещенными с плоскостью падения  $x_0y$ . Различия предыдущем магнитным параметрам (в таком случае комбинация кристаллов имитирует разрывы свойств ферритового монокристалла на резком фронте однородного легирования примесью), и примем, что в статических условиях магнитные полюса на разрыве отсутствуют. Для внешнего поля  $H_o \parallel z$ , обеспечивающего монодоменность кристаллов с намагниченостями насыщения  $M_{S_1} \parallel z$  и внутренними полями  $H_{i_y} \parallel z$  ( $\nu = 1$  при  $y > 0$ ,  $\nu = 2$  при  $y < 0$ ),

после исключения размагничивающего фактора имеем соотношение:

$$H_{i_2} = H_o + (H_{i_1} - H_o) M_{S_2} / M_{S_1}, \quad (1)$$

где  $H_{i_1} = \epsilon H_o$ ,  $\epsilon$  – обобщенный коэффициент связи внутреннего и внешнего поля над границей (вследствие перенормирующего действия поля магнитной анизотропии  $\epsilon > 1$ ).

По традиционной схеме [6] сопутствующее сдвиговым волнам магнитное поле  $\vec{h}_y$  полагаем слабым и ортогональным

$$h_y \ll H_{i_y}, \quad \vec{h}_y \perp \vec{H}_{i_y}.$$